

ПЛАЗМЕННАЯ ТУРБУЛЕНТНОСТЬ С ДВУМЯ ХАРАКТЕРНЫМИ
 МАСШТАБАМИ ДЛИН ВОЛН

Г. А. Гусев, В. В. Пустовалов, В. П. Селин

УДК 533.95

Рассмотрен новый вариант эволюции плазменной турбулентности, инициированной параметрической неустойчивостью с одинаковым максимальным инкрементом при двух различных значениях экстремального волнового числа. Насыщение неустойчивости обусловлено вынужденным рассеянием возбуждаемых волн на ионах в приближении интегральной перераскладки. Полученные результаты обсуждены применительно к плазме ионосферы Земли.

В экспериментах по внешнему зондированию ионосферы Земли были обнаружены дополнительные резонансы, частоты которых являются комбинациями различных собственных частот магнитоактивной плазмы /1/. Для интерпретации таких явлений целесообразна разработка нелинейной теории параметрического распада волны в ионосфере. В настоящей работе мы изложим результаты теории параметрического распада циркулярно поляризованной электромагнитной волны накачки (с частотой ω_0 , вектором напряженности электрического поля \vec{E}_0 и волновым вектором \vec{k}_0 , параллельным магнитному полю \vec{B}_0) на две косые ленгмювские волны $\omega_0 = 2\omega_{Le} |\cos\theta| (1 + \Delta)$ ($|\Delta| \ll 1$) в плазме с замагниченными электронами^{*)} $\omega_{Le}^2 \ll \Omega_e^2$ /2/. Такой распад может реализоваться в условиях полярной ионосферы на высотах выше 1000 км и в нижней ионосфере на высотах 95–105 км. Ниже будем считать, что кулоновская частота электрон-ионных столкновений ν_{ei} существенно превышает затухание Ландау. Это заведомо выполняется в ионосфере Земли вплоть до вы-

*) ω_{Le} и Ω_e - ленгмювская и гироскопическая частоты электронов, θ - угол между волновым вектором \vec{k} возбуждаемых волн и магнитным полем \vec{B}_0 , $r_{De} = (v_{Te}/\omega_{Le})$ - дебаевский радиус, v_{Te} - тепловая скорость электронов с температурой T_e и плотностью n_e .

сот 3000 км. При малых расстройках резонанса

$$\Delta + \omega_{Le}^2 / 6\Omega_e^2 < (v_{Te}/c)^{2/3}$$

происходит раскачка колебаний около одного экстремального волнового числа; в случае, когда выполнено неравенство противоположного знака, возбуждаются три спектральные линии/2/. Ниже рассмотрен промежуточный случай расстройки резонанса

$$2\Delta = \omega_{Le}^2 \sin^2 \theta / \Omega_e^2 + (3v_{Te}/c)^{2/3},$$

когда две из трех линий сливаются в одну и происходит раскачка с одинаковым инкрементом

$$\gamma(k, \theta) = (\nu_{e1}/2) \left\{ -1 + \left[\frac{27}{4} p^2 \sin^2 \theta \cos^4 \theta - 2np^2 \left(z - \frac{2\sqrt{2}}{5n} \right)^{2n} \right]^{1/2} \right\};$$

$$\frac{\pi}{2} n > \theta > \frac{\pi}{2} (n-1); n = 1, 2 \quad (I)$$

колебаний с частотами $\sim \omega_{Le} |\cos \theta|$ и двумя характерными волновыми числами k_1 и k_2 /2/. Здесь z - безразмерное волновое число,

p - определяется отношением поля накачки E_0 к минимальному пороговому E_{min} , а величина ρ^2 характеризует резкость зависимости инкремента от волнового числа:

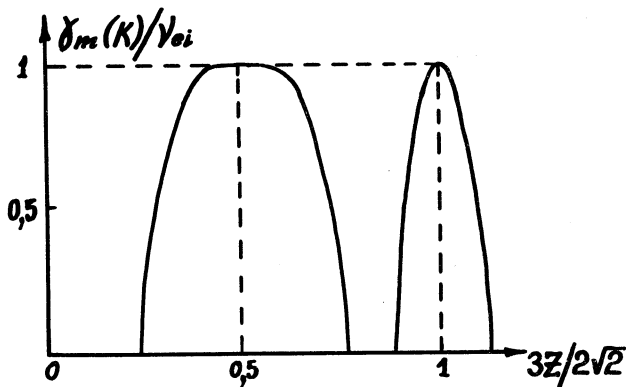
$$z = \sqrt{2} k r_{De} (c/3v_{Te})^{1/3}; p^2 = (E_0/E_{min})^2; \rho^2 = \frac{81}{32} \sqrt[3]{3} \frac{\omega_{Le}^2}{\nu_{e1}^2} \left(\frac{v_{Te}}{c} \right)^4;$$

$$E_{min} = \frac{2\sqrt{3}}{2} B_0 \frac{\nu_{e1}}{\omega_{Le}}$$

Инкремент (I) как функция углов θ достигает максимума при $\theta = \theta_m \equiv \arcsin(1/\sqrt{3})$ и при $\theta = \pi - \theta_m$. Зависимость экстремального по углам инкремента $\gamma_m(k)$ от волнового числа k представлена на рис. I.

Если поле E_0 волны накачки немного превышает порог E_{min} , $p - 1 < 1$, то область отличного от нуля инкремента представляет собой две изолированные подобласти в пространстве переменных θ и k . В таких условиях обусловленная вынужденным рассеянием на ионах нелинейная стадия развития неустойчивости (I) во времени t описывается системой двух уравнений для спектральной плот-

ности энергии шума $w(k, \theta, t) = (1 + \rho^2) \kappa_{Te} y_{1,2}(x, z, \tau)$ вблизи каждо-
го из экстремальных волновых чисел $z_1 = 2z_2 = 2\sqrt{2}/3$:



Р и с.1. Зависимость экстремального по углам инкремента от вол-
нового числа $\kappa_{Te} = (z/\sqrt{2})(3v_{Te}/c)^{1/3}$. Меньшее из волновых чисел
 $z = 2/3$ реализуется во второй четверти углов $\pi/2 < \theta < \pi$. Гра-
фик построен для значений $\rho = 2$, $\rho^2 = 100$

$$y_1(x, z, \tau) = \left[\frac{\delta \ln y_1}{8\tau} + u_1^{-2}(x, \tau) + 2\rho^2 \left(z - \frac{2\sqrt{2}}{3} \right)^2 \right]^{-1}; \quad (2)$$

$$y_2(x, z, \tau) = \left[\frac{\delta \ln y_2}{8\tau} + u_2^{-4/3}(x, \tau) + \rho^2 \left(z - \frac{\sqrt{2}}{3} \right)^4 \right]^{-1};$$

$$u_1(x, \tau) = \frac{\rho}{\pi} \int_{z_1}^{z_2} dz y_1(x, z, \tau); \quad u_2(x, \tau) = \frac{2^{3/4} \sqrt{\rho}}{\pi} \int_{z_1}^{z_2} dz y_2(x, z, \tau);$$

$$x = \begin{cases} \theta - \theta_m & 0 < \theta < \frac{\pi}{2} \\ \pi - \theta_m - \theta & \pi/2 < \theta < \pi; \tau = 3\rho^2 \epsilon_1 t. \end{cases} \quad (3)$$

В условиях $\rho^2 \gg (\rho - 1)/3\rho$ инкремент неустойчивости (I) имеет
более резкую зависимость от волнового числа z , чем от угла x ,
что позволяет для функции $y_{1,2}(x, \tau)$ получить одномерные интегро-
дифференциальные уравнения:

$$\begin{aligned} \partial u_1 / \partial \tau - 1/u_1 &= u_1 \left(a^2 - x^2 - \varepsilon_1 \int_{x_1}^{x_2} dx' (x' - x + R) u_2(x', \tau) \right); \\ \partial u_2 / \partial \tau - 1/u_2^{1/3} &= u_2 \left(a^2 - x^2 - \varepsilon_2 \int_{x_1}^{x_2} dx' (x' - x - R) u_1(x', \tau) \right); \end{aligned} \quad (4)$$

$$a^2 \equiv (p - 1)/3p; R = (3v_{Te}/2\sqrt{2}c)^{2/3}; \varepsilon_2 = 2^{11/4} p^{-1/2} \varepsilon_1;$$

$$\varepsilon_1 = \frac{1}{\sqrt{\pi}} (2^{9/4}/3^{15/2}) \frac{1 + p^2}{p n_e r_{De}^3} \left(\frac{r_{De}}{r_{Di}} + \frac{r_{Di}}{r_{De}} \right)^{-2}. \quad (5)$$

Эти уравнения (4) справедливы в приближении интегральной перекачки энергии турбулентности по спектру

$$a^2 < 2\sqrt[3]{9} (v_{Ti}^3/v_{Te}^2)^{2/3}$$

и для замагниченных обейний

$$(a + R)^2 < 3(\Omega_i/\omega_{Le})^2,$$

когда нелинейным взаимодействием внутри спектральных линий можно пренебречь.

Стационарные решения системы (4) имеет вид (ор.с решением в работе /3/):

$$u_1(x, \infty) = [(x - a_1)^2 + b_1^2]^{-1/2}; u_2(x, \infty) = [(x - a_2)^2 + b_2^2]^{-3/4};$$

$$a_1 = \sqrt{a^2 + R^2} + R; a_2 = \sqrt{a^2 + R^2} - R;$$

$$b_1^2 = 4(x_2 - a_1)(a_1 - x_1) \exp\left(-\frac{2a_2}{\varepsilon_2}\right);$$

$$b_2 = \pi^2 \varepsilon_1^2 / 2a_1^2; a_1/\varepsilon_1, a_2/\varepsilon_2 \gg 1; b_{1,2}^2 \ll 1. \quad (6)$$

Решение (6) отвечает двум асимметричным линиям. Если постоянная переороса R не мала по сравнению с надпороговостью a , то возникает значительное уширение линии турбулентного шума с характер-

ным волновым числом k_1 (в первой четверти $0 < \theta < \pi/2$ углов θ). Переброс R снижает полный (проинтегрированный по углам) шум в первой линии и увеличивает его во второй:

$$\bar{u}_1(\infty) = 2a_2/\varepsilon_2; \quad \bar{u}_2(\infty) = 2a_1/\varepsilon_1. \quad (7)$$

Для анализа нестационарной стадии турбулентности введем моменты спектральных плотностей

$$\bar{u}_{1,2}(\tau) = \int_{x_1}^{x_2} dx u_{1,2}(x, \tau); \quad u_{1,2}(\tau) = \int_{x_1}^{x_2} x dx u_{1,2}(x, \tau). \quad (8)$$

Тогда с помощью формальных асимптотических решений ($a^2\tau \gg 1$, $u_{1,2}(x, \tau) \gg 1$)

$$u_1(x, \tau) = u_1(x, 0) \exp \left\{ (a^2 - x^2)\tau - \varepsilon_1(x+R) \int_0^\tau d\tau \bar{u}_2(\tau) + \varepsilon_1 \int_0^\tau d\tau u_2(\tau) \right\};$$

$$u_2(x, \tau) = u_2(x, 0) \exp \left\{ (a^2 - x^2)\tau - \varepsilon_2(x-R) \int_0^\tau d\tau \bar{u}_1(\tau) + \varepsilon_2 \int_0^\tau d\tau u_1(\tau) \right\} \quad (9)$$

из системы (4) получим систему четырех дифференциальных уравнений первого порядка ($A_{1,2} \equiv u_{1,2}/\bar{u}_{1,2}$; $2B_{1,2} \equiv \varepsilon_{2,1}\bar{u}_{1,2}$):

$$A_1^2 - a^2 = 2B_2(A_1 - A_2 - R) - d \ln B_1 / d\tau; \quad B_1 = \frac{d}{d\tau} (\tau A_2);$$

$$A_2^2 - a^2 = 2B_1(A_2 - A_1 + R) - d \ln B_2 / d\tau; \quad B_2 = \frac{d}{d\tau} (\tau A_1). \quad (10)$$

Выход шума на стационарное турбулентное состояние можно качественно проследить с помощью линеаризации уравнений (10) около стационарных решений

$$A_{1,2}(\infty) = \pm R \pm \sqrt{R^2 + a^2}; \quad B_{1,2}(\infty) = A_{2,1}(\infty).$$

В пределе малого переброса $R \ll a$ линеаризованное решение аналогично случаю одной линии $/4/$ (одного масштаба турбулентности):

$$B_{1,2}(\tau) - B_{1,2}(\infty) = J_0 \left(2\sqrt{2a^2\tau} \right); \quad a/R \gg a^2\tau \gg 1. \quad (11)$$

Здесь $J_0(x)$ - функция Бесселя нулевого порядка. Другой класс решений получается в обратном пределе $R \gg a$, когда существует вклад перебора:

$$V_1(\tau) - V_1(\infty) = (C_1 + C_2 \ln a^2 \tau) / a^2 \tau;$$

$$V_2(\tau) - V_2(\infty) = -2 \frac{R^2}{a^2} \frac{C_2}{a^2 \tau}; \quad a^2 \tau \gg 1; \quad R \gg a. \quad (I2)$$

Здесь C_1 и C_2 - постоянные, определяемые начальными условиями. В отличие от (II) решение (I2) описывает аперриодический выход турбулентности на стационарное состояние. Возможно также чисто периодическое решение

$$\varphi_1 = C \sin \Omega \tau; \quad \varphi_2 = C \frac{R + \sqrt{R^2 + a^2}}{a} \cos \Omega \tau;$$

$$\Omega = 2aR; \quad a^2 \tau \gg 1; \quad a^2 \tau \gg 1/aR. \quad (I3)$$

Существенно, что и в этом случае роль вклада R сводится к увеличению шума во второй линии. Особенностью решения (I3) является фазовый сдвиг осциллирующей второй линии на $\pi/2$ по отношению к первой линии.

Для обсуждаемой турбулентности в ионосфере Земли прежде всего реализуется условие $R \gg a$, соответствующее решению (I2). Решение (I3) не связано с предположением о величине отношения R/a и может, в частности, реализоваться при $R/a \gg 1$ на достаточно больших временах $a^2 \tau \gg 1/aR$.

В заключение получим, пользуясь формулами (7) и (I3), выражения полных стационарных шумов для обеих линий и для частот их осциллирующей в нестационарном режиме через параметры плазмы:

$$\left(\frac{E_0^2}{8 \ln \frac{a}{r_{De}}} \right)_{1,2} = 9,5 \frac{\nu_{ei}}{\omega_{Le}} \left(\frac{r_{De}}{r_{Di}} + \frac{r_{Di}}{r_{De}} \right)^2 \frac{E_0}{E_{\min}} \left(\frac{3 \nu_{Ti}^3}{\nu_{Te}^2 c} \right)^{1/3} \times$$

$$\times \left\{ \left(\frac{E_0 - E_{\min}}{3E_0} + \left(\frac{\nu_{Te}}{c} \right)^{4/3} \right)^{1/2} - \left(\frac{\nu_{Te}}{c} \right)^{2/3}; \right.$$

$$\left. \left(\frac{E_0 - E_{\min}}{3E_0} + \left(\frac{\nu_{Te}}{c} \right)^{4/3} \right)^{1/2} + \left(\frac{\nu_{Te}}{c} \right)^{2/3} \right\};$$

$$\Omega = 2,1 \nu_{ei} \left[\frac{E_0}{E_{\min}} \left(\frac{E_0}{E_{\min}} - 1 \right) \right]^{1/2} \left(\frac{v_{Te}}{c} \right)^{2/3}.$$

Оценим величину в условиях ионосферы на высотах 95–105 км в средних широтах 50–55°N зимой в ночное время /5/ ($n_e \approx 2,5 \cdot 10^3 \text{ см}^{-3}$, $B_0 = 0,51 \text{ га}$, $T_e \approx 220^\circ$, $\nu_{ei} \approx 3 \cdot 10^4 \text{ сек}^{-1}$). В такой плазме спектры турбулентности из двух линий реализуется при расстройках $\Delta + \omega_{Le}^2 / 6\Omega_e^2 \approx 10^{-2}$. Полагая $a^2 \approx 10^{-6}$, получим для частоты осциллирующий нестационарного шума $\Omega \approx 1 \text{ сек}^{-1}$.

Поступила в редакцию
30 декабря 1975 г.

Л и т е р а т у р а

1. T. R. Hartz, R. E. Barrington. Proc. of IEEE, **57**, 1108 (1969).
2. Г. А. Гусев, В. В. Цустовалов, В. П. Силин. Изв. ВУЗов, Радиофизика, **18**, 935 (1975).
3. Л. М. Дегтярев, В. В. Цустовалов, В. П. Силин, В. Т. Тихончук. Препринт ФИАН, № 131, 1974 г.
4. Г. А. Гусев, В. В. Цустовалов, В. П. Силин. ЖТФ, **46**, № 6, 1192 (1976); Препринт ФИАН, № 133, 1974 г.
5. Т. Н. Соболева. Депонент ВИНТИ № 3504-71 (1971).